



第六章 频率特性分析法

CHAPTER 6 Frequency Response





第六章主要内容

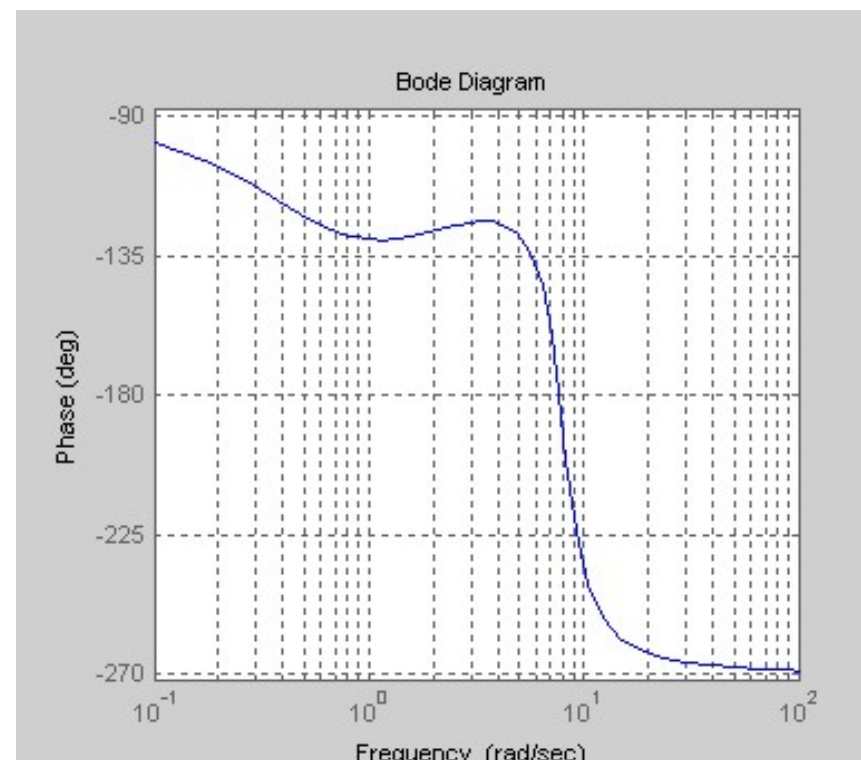
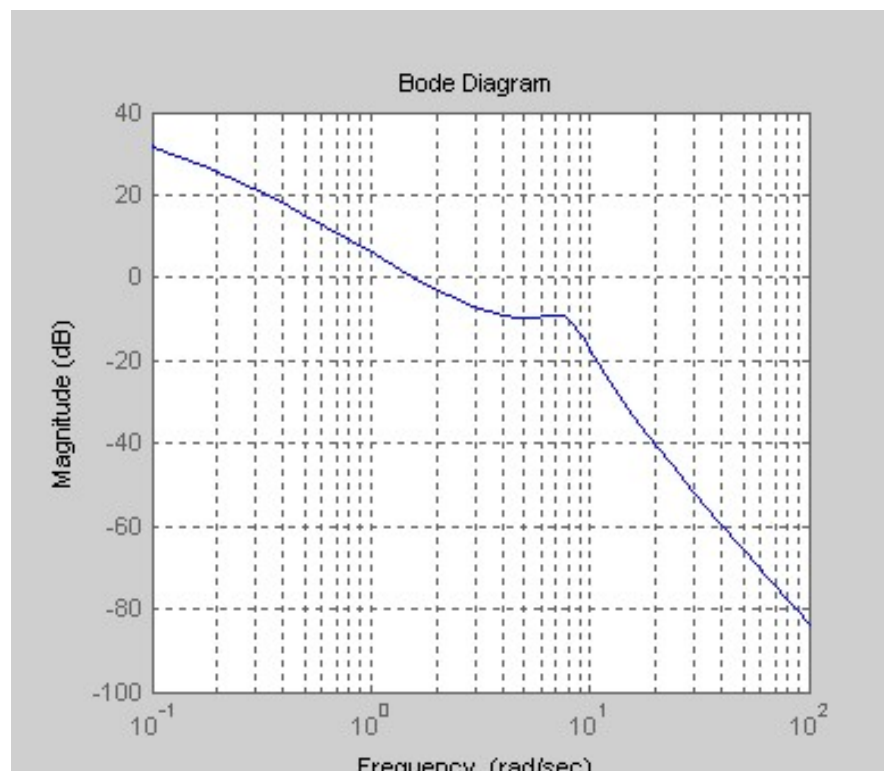


- ✓ 概述
- ✓ **Bode** 图 (对数坐标图)
- ✓ 极坐标图
- ✓ **Nyquist**稳定性判据
- ✓ 基于频率特性的补偿器设计





问题



已知闭环系统的开环对数频率特性曲线，要求从幅频和相频曲线直接判断出闭环系统的稳定性



幅角原理



复平面上没有重点的连续曲线，称为**简单曲线**

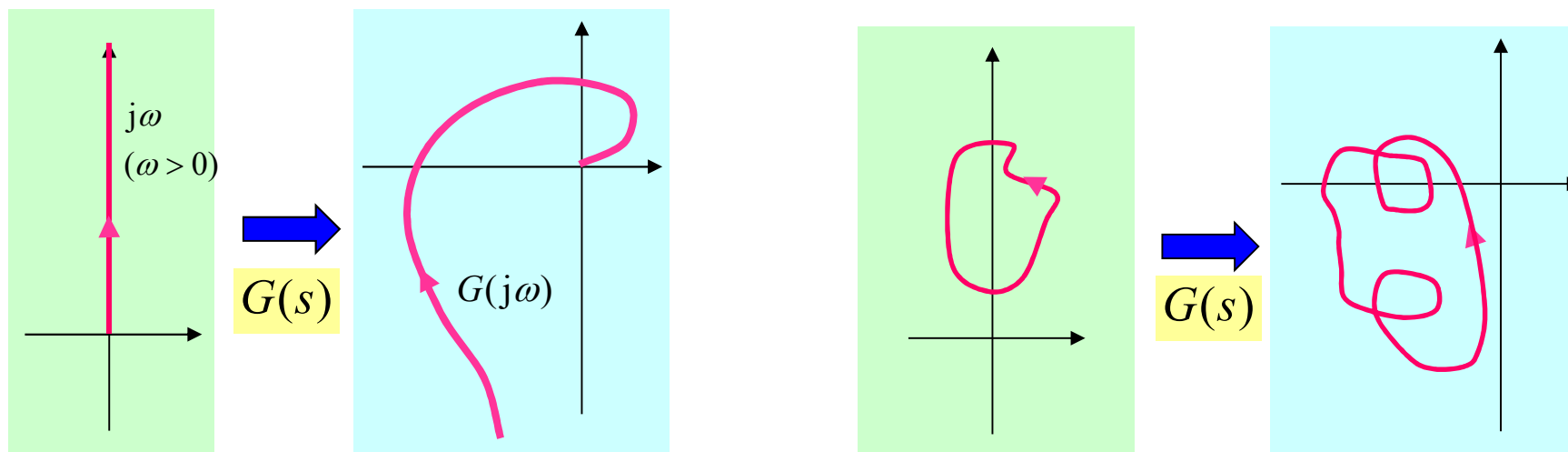
如果复平面上连续曲线的起点和终点重合，则称曲线为**闭曲线**

复平面上分段光滑的有向简单闭曲线，称为**有向围线**

任意一条有向围线 Γ 将复平面分成3部分：内部、外部和 Γ

传递函数 $G(s)$ 可被视为映射：

将复平面上的点集 E (不含 $G(s)$ 的极点) 映射到复平面上的点集 E^*



$$G(s) = \frac{1}{s(1+0.1s)(1+s)(1+5s)}$$

的幅相曲线

传递函数 $G(s)$ 将有向围线（不含 $G(s)$ 的极点）映射到有向闭曲线



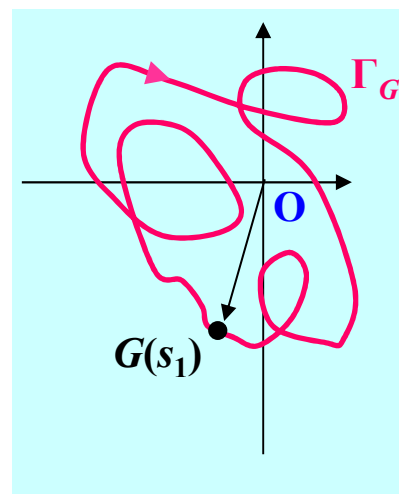
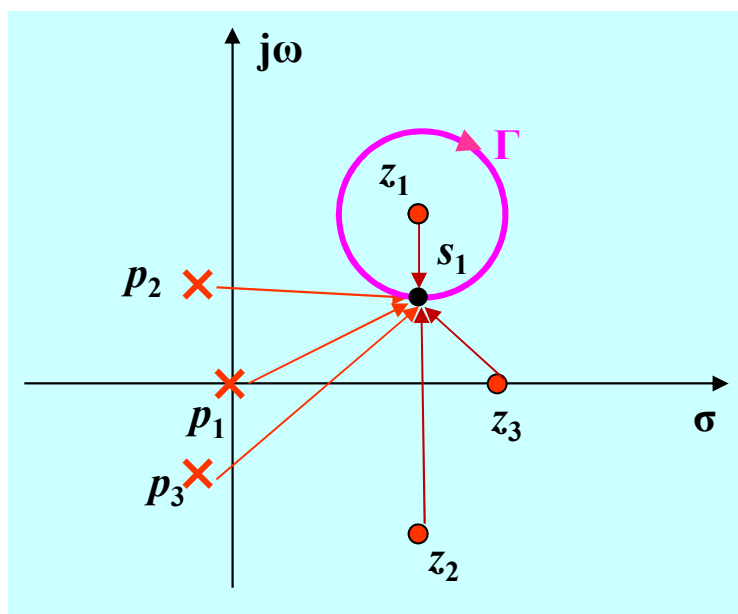
幅角原理



$$G(s) = \frac{K(s - z_1)(s - z_2) \cdots (s - z_w)}{(s - p_1)(s - p_2) \cdots (s - p_n)}$$

顺时针围线 Γ : z_1 在 Γ 内部, 其它零极点在 Γ 外部

$G(s)$ 将 Γ 映射成有向闭曲线 Γ_G



点 s_1 沿 Γ 一周, $G(s_1)$ 的相角如何变化?

$$\angle G(s_1) = \angle K + \angle(s_1 - z_1) + \angle(s_1 - z_2) + \angle(s_1 - z_3) - \angle(s_1 - p_1) - \angle(s_1 - p_2) - \angle(s_1 - p_3)$$

s_1 沿 Γ 一周, 等式右端除 $\angle(s_1 - z_1)$ 减少 360° 外, 其余6项不变

s_1 沿 Γ 一周, $\angle G(s_1)$ 减少 360° , 即 Γ_G 顺时针包围原点1圈



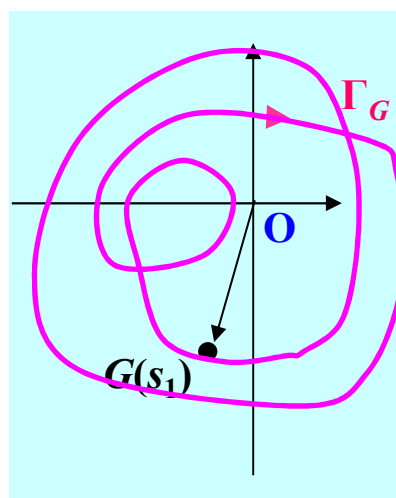
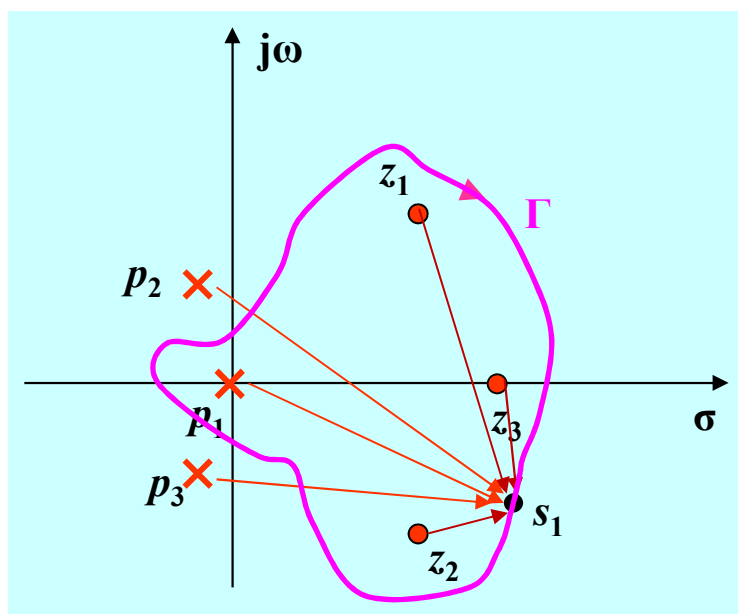
幅角原理



$$G(s) = \frac{K(s-z_1)(s-z_2)\cdots(s-z_w)}{(s-p_1)(s-p_2)\cdots(s-p_n)}$$

顺时针围线 Γ : z_1 、 z_2 、 z_3 和 p_1 在 Γ 内部

其它零极点在 Γ 外部



点 s_1 沿 Γ 一周

$$\angle G(s_1) = \angle K + \angle(s_1 - z_1) + \angle(s_1 - z_2) + \angle(s_1 - z_3) - \angle(s_1 - p_1) - \angle(s_1 - p_2) - \angle(s_1 - p_3)$$

$\angle(s_1 - z_1)$ 、 $\angle(s_1 - z_2)$ 、 $\angle(s_1 - z_3)$ 和 $\angle(s_1 - p_1)$ 减少 360° ，右端其它项不变

Γ_G 顺时针包围原点2圈

Γ 内部有3个零点和1个极点



幅角原理



幅角原理： 设复变函数 $G(s)$ 在复平面上除有限个点外处处解析，顺时针围线 Γ 上没有 $G(s)$ 的零点和极点， Γ 内部有 $G(s)$ 的极点 $p_1(q_1$ 阶)、 \cdots 、极点 $p_m(q_m$ 阶)和零点 $z_1(r_1$ 阶)、 \cdots 、零点 $z_l(r_l$ 阶)，则 Γ_G 逆时针包围原点的次数

$$N = \sum_{j=1}^m q_j - \sum_{i=1}^l r_i$$

$N > 0$ 表示逆时针包围， $N < 0$ 表示顺时针包围， $N = 0$ 表示不包围

传递函数 $G(s) = \frac{K(s-z_1)(s-z_2)\cdots(s-z_w)}{(s-p_1)(s-p_2)\cdots(s-p_n)}$ 满足

- 1) 在复平面上除有限个点外处处解析
- 2) 所有极点和零点都是有限阶的

幅角原理适用于传递函数

推论：若顺时针围线 Γ 上没有传递函数 $G(s) = \frac{K(s-z_1)(s-z_2)\cdots(s-z_w)}{(s-p_1)(s-p_2)\cdots(s-p_n)}$ 的零点和极点，

则 Γ_G 逆时针包围原点的次数

$$N = \Gamma \text{ 内部的 } G(s) \text{ 极点数 } - \Gamma \text{ 内部的 } G(s) \text{ 零点数}$$

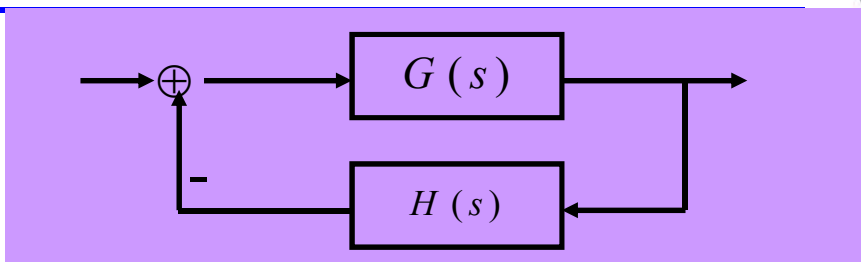


稳定判据



负反馈系统的闭环传递函数

$$\Phi(s) = \frac{G(s)}{1 + G(s)H(s)}$$



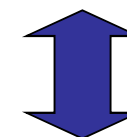
设 因果的 $G(s) = N_1(s)/D_1(s)$ 因果的 $H(s) = N_2(s)/D_2(s)$

$N_1(s)$ 、 $D_1(s)$ 、 $N_2(s)$ 和 $D_2(s)$ 均为多项式， $N_1(s)$ 与 $D_1(s)$ 互素， $N_2(s)$ 与 $D_2(s)$ 互素

$$B(s) = 1 + G(s)H(s) = 1 + \frac{N_1(s)}{D_1(s)} \frac{N_2(s)}{D_2(s)} = \frac{D_1(s)D_2(s) + N_1(s)N_2(s)}{D_1(s)D_2(s)}$$

$$\Phi(s) = \frac{G(s)}{1 + G(s)H(s)} = \frac{\frac{N_1(s)}{D_1(s)}}{1 + \frac{N_1(s)}{D_1(s)} \frac{N_2(s)}{D_2(s)}} = \frac{N_1(s)D_2(s)}{D_1(s)D_2(s) + N_1(s)N_2(s)}$$

$B(s)$ 的零点



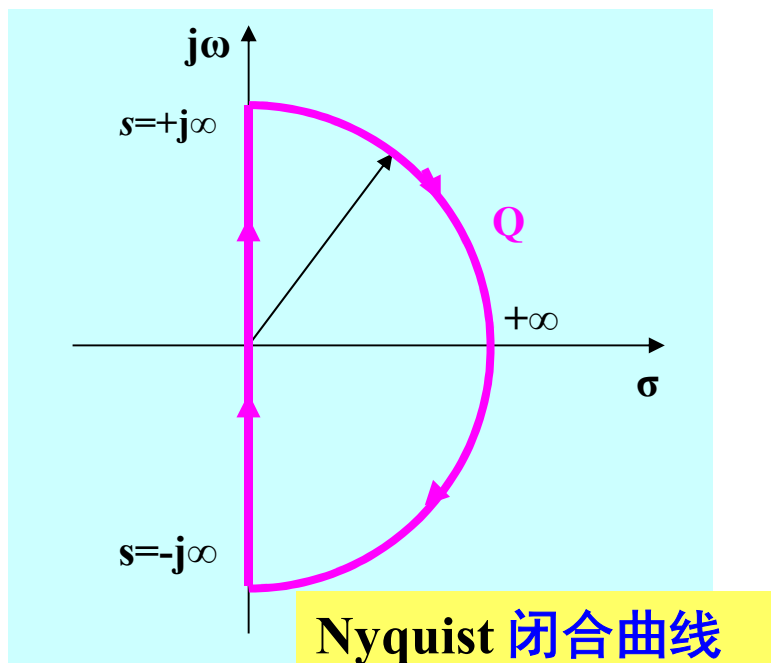
$\Phi(s)$ 的极点

负反馈系统稳定当且仅当 $\Phi(s)$ 的极点不在右半开平面或虚轴上

负反馈系统稳定当且仅当 $B(s)=1+G(s)H(s)$ 的零点不在右半开平面或虚轴上



稳定判据



构造一个内部为右半开平面的顺时针围线 Q :

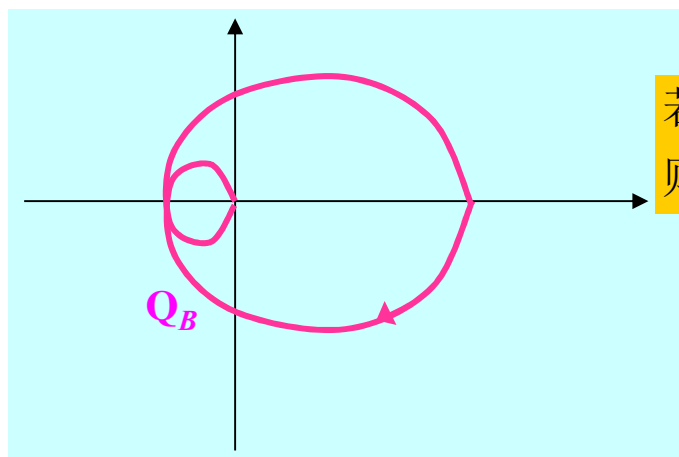
虚轴 $j\omega$, $\omega \in (-\infty, +\infty)$

半径为 ∞ 的半圆, $s = \infty e^{j\theta}$, $-\frac{\pi}{2} \leq \theta \leq \frac{\pi}{2}$

假设: $B(s) = 1 + G(s)H(s)$ 在虚轴上无极点
即 $G(s)H(s)$ 在虚轴上无极点

开环传递函数 $G(s)H(s)$ 不含积分环节

Q 上无 $B(s)$ 的极点, $B(s)$ 将 Q 映射成闭曲线 Q_B

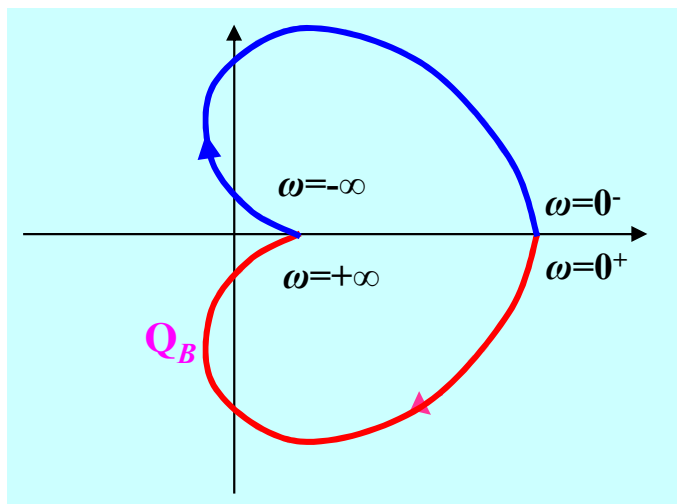
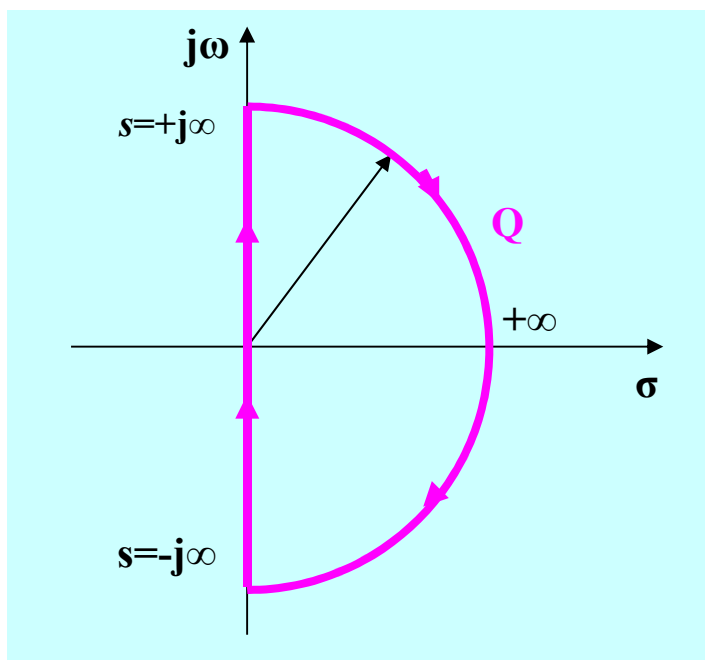


若原点在 Q_B 上,
则有 $B(s)$ 的零点在虚轴上(在 Q 上), $\Phi(s)$ 临界稳定或不稳定

若原点不在 Q_B 上,
则在 Q 上无 $B(s)$ 的零点和极点, 可用幅角原理



稳定判据



由 $G(s)$ 和 $H(s)$ 因果，知 $B(s) = 1 + G(s)H(s)$ 因果
则 $\lim_{|s| \rightarrow \infty} B(s)$ 为实常数

Q_B 由两部分组成：

$B(s) = 1 + G(s)H(s)$ 的幅相曲线

$B(s)$ 幅相曲线关于实轴的对称曲线（方向不对称）

Q_B 的两部分在 $\lim_{|s| \rightarrow \infty} B(s)$ 和 $B(j0) = 1 + G(j0)H(j0)$ 处交接
这两处均在实轴上

记 P_R 为 $B(s)$ 在右半开平面的极点数

即 $G(s)H(s)$ 在右半开平面的极点数

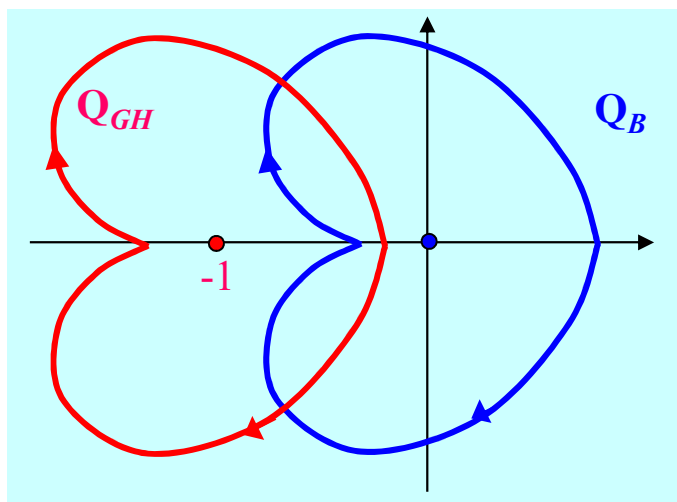
Z_R 为 $B(s)$ 在右半开平面的零点数

若 $G(s)H(s)$ 因果且无虚轴上极点，原点不在 Q_B 上，则
 Q_B 逆时针包围原点的次数 $N = P_R - Z_R$

若 $G(s)H(s)$ 因果且无虚轴上极点，原点不在 Q_B 上，则
 $\Phi(s)$ 稳定当且仅当 Q_B 逆时针包围原点的次数等于 P_R



稳定判据



$B(s) = 1 + G(s)H(s)$ 将 Q 映射成闭曲线 Q_B

$G(s)H(s)$ 将 Q 映射成闭曲线 Q_{GH}

Q_{GH} 水平向右移动一个单位即得到 Q_B

“原点相对于 Q_B 的位置” 就是 “ -1 相对于 Q_{GH} 的位置”

“ Q_B 逆时针包围原点 N 圈” 等价于 “ Q_{GH} 逆时针包围 (-1) 点 N 圈”

若 $G(s)H(s)$ 因果且无虚轴上极点， (-1) 点不在 Q_{GH} 上，则 $\Phi(s)$ 稳定当且仅当 Q_{GH} 逆时针包围 (-1) 点的次数等于 P_R

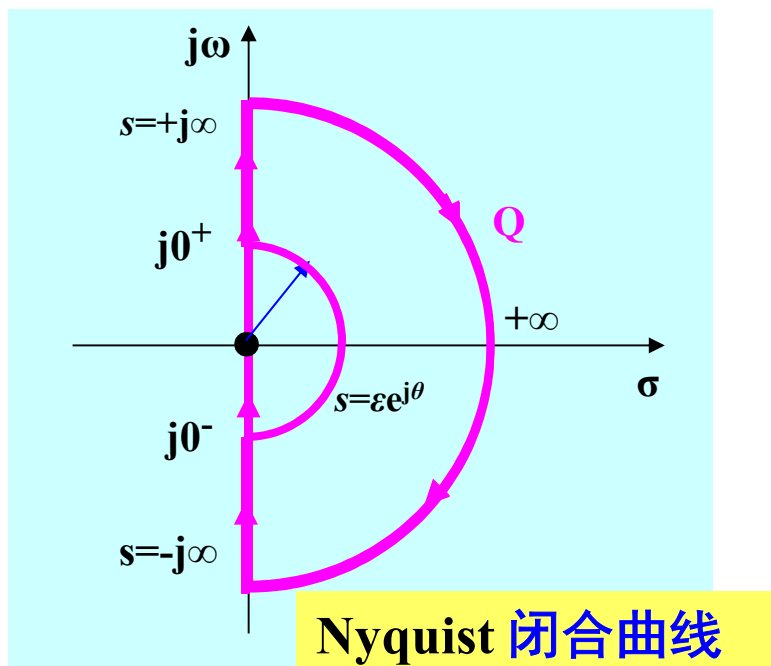
P_R 为 $G(s)H(s)$ 在右半开平面的极点数

若 $G(s)H(s)$ 的分母不是因式分解形式，可对分母多项式应用 Routh 判据来确定 P_R

若 $G(s)H(s)$ 因果且稳定， (-1) 点不在 Q_{GH} 上，则 $\Phi(s)$ 稳定当且仅当 Q_{GH} 不包围 (-1) 点



稳定判据



取消这个假设

假设: $G(s)H(s)$ 在虚轴上无极点

改造围线Q

为避开原点，构造一个半径为无穷小 ϵ 的逆时针半圆

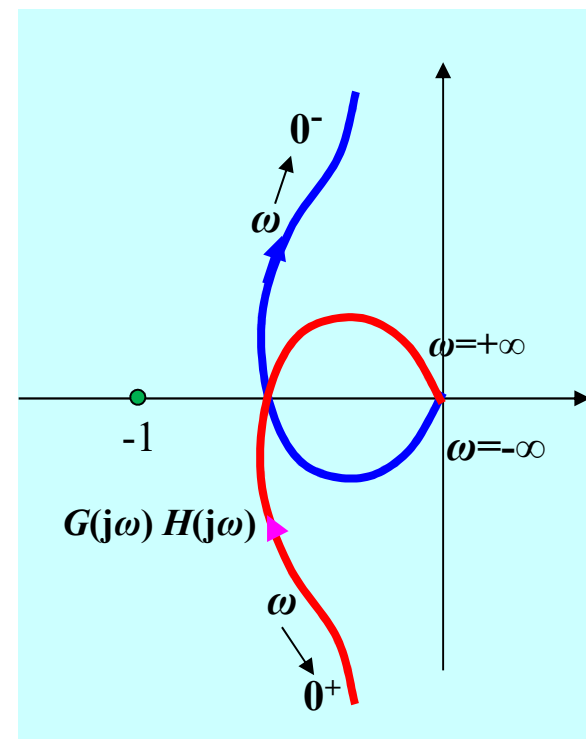
$$s = \epsilon e^{j\theta}, -\frac{\pi}{2} \leq \theta \leq \frac{\pi}{2}$$

Q_{GH} 由三部分组成:

$G(s)H(s)$ 的幅相曲线

$G(s)H(s)$ 幅相曲线关于实轴的对称曲线 (方向不对称)

$\epsilon e^{j\theta}$ 经 $G(s)H(s)$ 映射后所形成的曲线





稳定判据

$\varepsilon e^{j\theta}$ 经 $G(s)H(s)$ 映射后所形成的曲线

$\varepsilon \rightarrow 0, \theta$ 从 $-\frac{\pi}{2}$ 到 $\frac{\pi}{2}$ (逆时针)

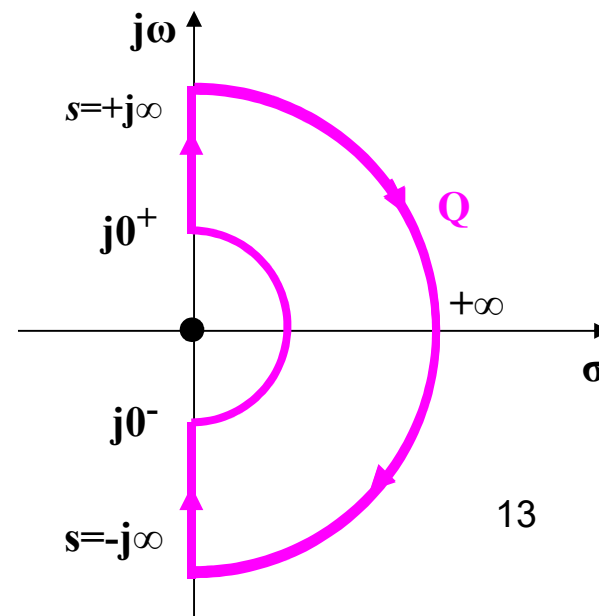
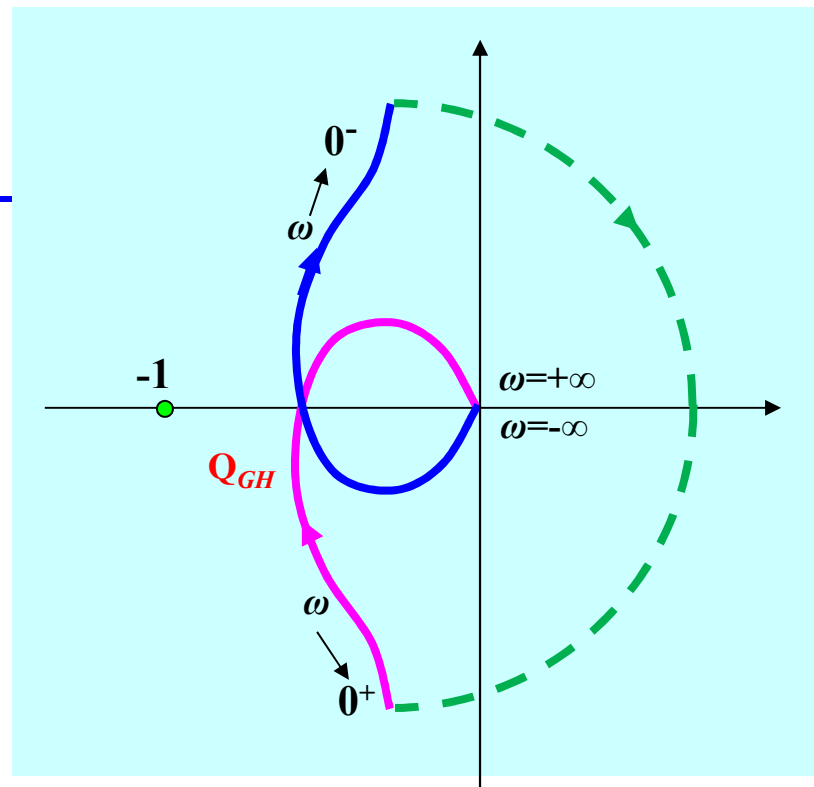
$$G(s)H(s) = \frac{K(1 + a_1 s + \dots + a_w s^w)}{s^m (1 + b_1 s + \dots + b_n s^n)}$$

$$\begin{aligned} \lim_{\varepsilon \rightarrow 0} G(\varepsilon e^{j\theta})H(\varepsilon e^{j\theta}) &= \frac{K(1 + a_1 \varepsilon e^{j\theta} + \dots + a_w \varepsilon^w e^{jw\theta})}{\varepsilon^m e^{jm\theta} (1 + b_1 \varepsilon e^{j\theta} + \dots + b_n \varepsilon^n e^{jn\theta})} \\ &= \frac{K}{\varepsilon^m e^{jm\theta}} = \infty e^{-jm\theta} = \infty e^{j\psi} \end{aligned}$$

ψ 从 $\frac{m\pi}{2}$ 到 $-\frac{m\pi}{2}$ (顺时针)

1型系统顺时针旋转180°(半圈)
2型系统顺时针旋转360°(一圈)
3型系统顺时针旋转540°(一圈半)
⋮

对虚轴极点的其它情况 (特殊振荡环节) 可类似处理





稳定判据



Nyquist稳定判据：设因果的开环传递函数 $G(s)H(s)$ 在右半开平面有 P_R 个极点， (-1) 点不在 Q_{GH} 上，则闭环传递函数 $\Phi(s) = \frac{G(s)}{1 + G(s)H(s)}$ 稳定的充分必要条件是 Q_{GH} 逆时针包围 (-1) 点 P_R 次

最小相位系统的传递函数在右半开平面无极点

推论：若 $G(s)H(s)$ 因果且是最小相位的， (-1) 点不在 Q_{GH} 上，则 $\Phi(s)$ 稳定当且仅当 Q_{GH} 不包围 (-1) 点



示例



例 6-15-3. 2型系统

$$G(s)H(s) = \frac{K(1+T_4s)}{s^2(1+T_1s)(1+T_2s)(1+T_3s)}$$

$$N = 0$$

负反馈系统的开环传递函数

是最小相位的, 其中 $T_4 > T_1 + T_2 + T_3$

负反馈系统稳定

若增大 $G(s)H(s)$ 的增益

改变 $G(s)H(s)$ 的增益

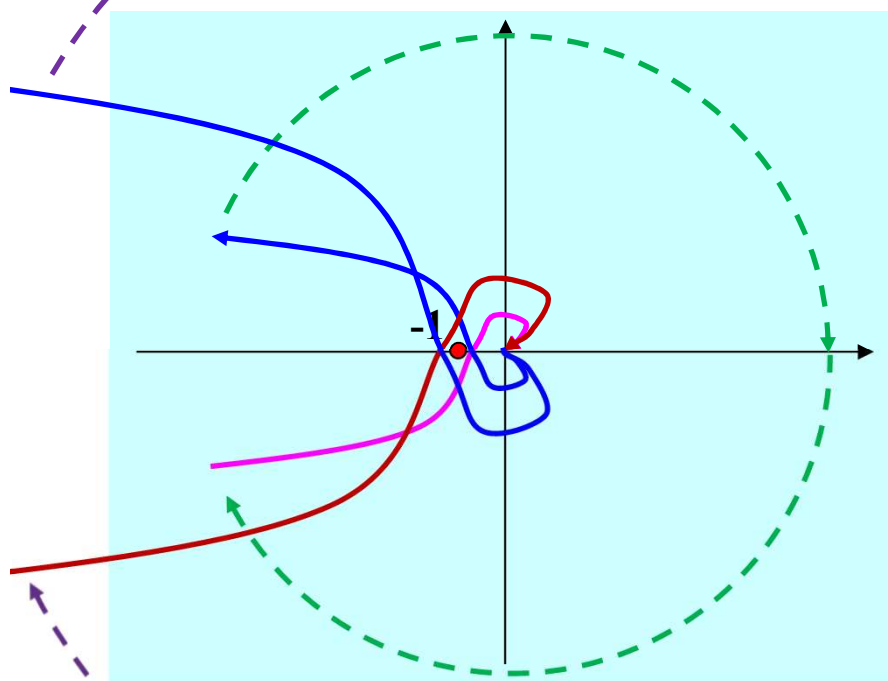
Nyquist图的形状不变

Nyquist图的大小变化

$$N = -2$$

则负反馈系统不稳定

考虑增益变化的稳定性Nyquist判别,
相当于Nyquist图不变而坐标轴刻度变
化, 即-1点沿实轴变动的稳定性判别





极坐标图——示例



例6-16-1 设负反馈系统的开环传递函数为 $G(s)H(s) = \frac{K(s+4)}{s(s-1)}, K > 0$

用Nyquist稳定判据确定使系统稳定的 K 的取值范围

解：系统开环频率特性为 $G(j\omega)H(j\omega) = \frac{-4K(1+j0.25\omega)}{j\omega(1-j\omega)} = \frac{-5K}{\omega^2+1} + j\frac{K(4-\omega^2)}{\omega(\omega^2+1)}$

幅频特性为 $|G(j\omega)H(j\omega)| = \frac{K\sqrt{\omega^2+16}}{\omega\sqrt{\omega^2+1}}$

相频特性为 $\angle G(j\omega)H(j\omega) = -180^\circ - 90^\circ + \arctan 0.25\omega - (-\arctan \omega) = -270^\circ + \arctan \frac{\omega}{4} + \arctan \omega$

不稳定的 $\frac{1}{s-\alpha}$ 环节会给系统相频特性自低频开始就增加 180° 滞后

开环幅相曲线的起点: $G(j0^+)H(j0^+) = \infty \angle -270^\circ \Rightarrow V_x = \operatorname{Re} G(j0^+)H(j0^+) = -5K$

开环幅相曲线的终点: $G(j\infty)H(j\infty) = 0 \angle -90^\circ$

当 $K>0$ 时, $G(j\omega)H(j\omega)$ 的实部不为零, 故与虚轴无交点



极坐标图——示例



开环幅相曲线的起点: $G(j0^+)H(j0^+) = \infty \angle -270^\circ \Rightarrow V_x = \operatorname{Re} G(j0^+)H(j0^+) = -5K$

开环幅相曲线的终点: $G(j\infty)H(j\infty) = 0 \angle -90^\circ$

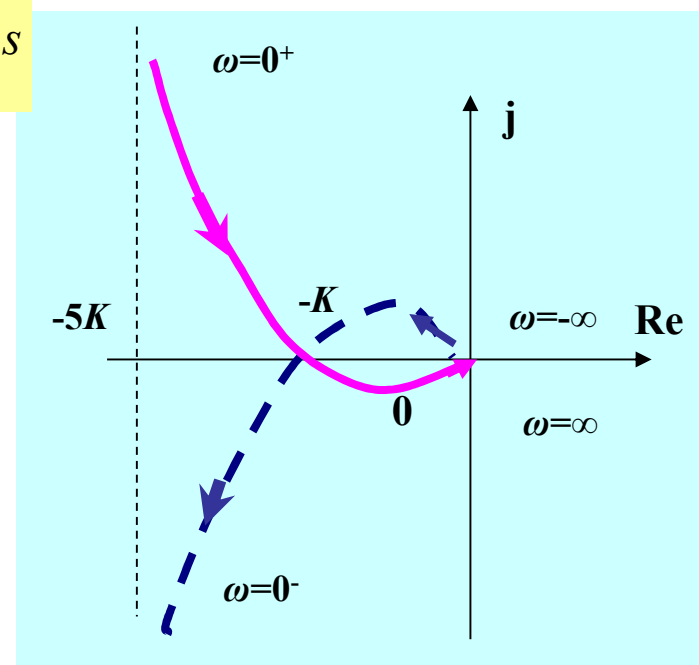
当 $K > 0$ 时, $G(j\omega)H(j\omega)$ 的实部不为零, 故与虚轴无交点

令虚部为零, 可求出频率特性与实部的交点时的频率值为

$$\operatorname{Im} G(j\omega)H(j\omega) = 0 \Rightarrow \frac{K(4 - \omega^2)}{\omega(\omega^2 + 1)} = 0 \Rightarrow \omega = 2 \operatorname{rad/s}$$

此时, 实部的坐标:

$$\operatorname{Re} G(j\omega)H(j\omega) = \frac{-5K}{\omega^2 + 1} = -K$$





Nyquist稳定性判据——示例



例6-16-2 设系统的开环传递函数为 $G(s)H(s) = \frac{K(s+4)}{s(s-1)}$, $K > 0$

用奈魁斯特稳定判据确定使系统稳定的 K 的取值范围。

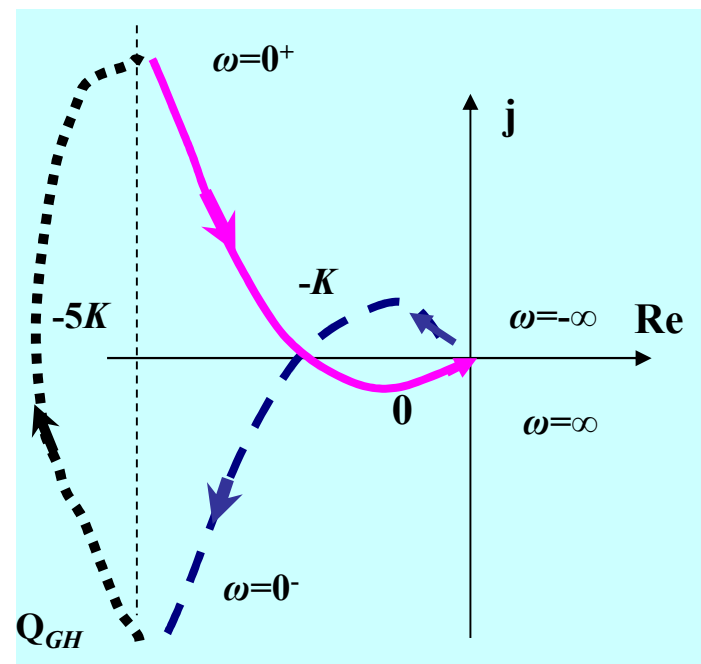
I型系统, $m=1$, 如图顺时针连接 0^- 与 0^+

系统在右半开平面有一个开环极点, $P_R=1$

$K=1$, Q_{GH} 过 (-1) 点, 系统临界稳定;

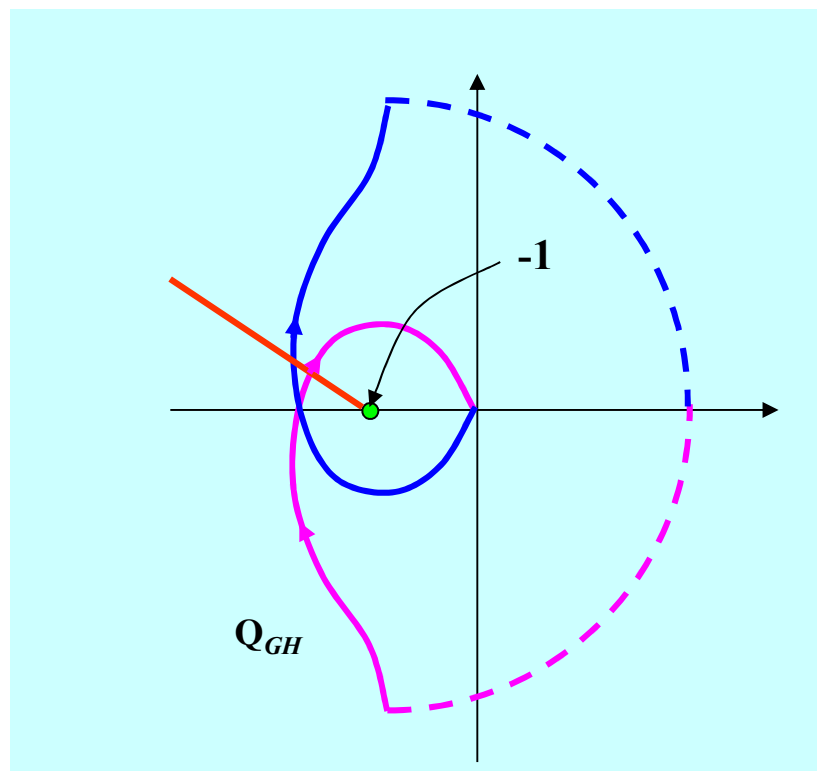
$K>1$, $N=1$, 系统稳定;

$K<1$, $N=-1$, 系统不稳定





Nyquist稳定性判据——示例



旋转的圈数 N 可以通过从 (-1) 点向任意方向绘制一射线的方法来确定

在射线与 Q_{GH} 曲线交点处标注穿越方向

若 Q_{GH} 逆时针/顺时针穿越该射线，表示正穿越/负穿越

穿越之和为 N

$$N = -2$$

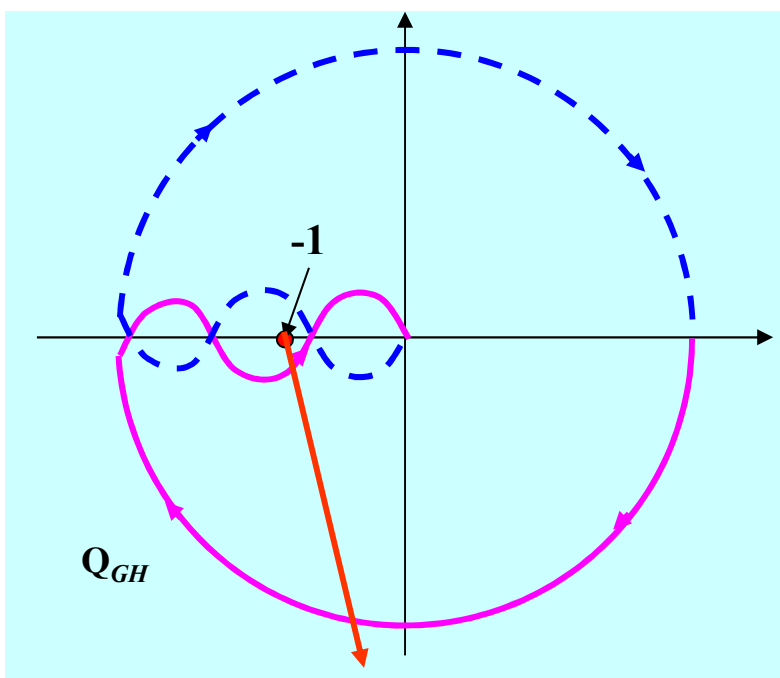


Nyquist稳定性判据——示例



例 6-17. 某负反馈系统的开环传递函数

$$G(s)H(s) = \frac{K(1+T_1s)^2}{(1+T_2s)(1+T_3s)(1+T_4s)(1+T_5s)^2}$$



是最小相位的, Q_{GH} 见图

从 (-1) 点引出射线, 旋转的圈数 $N=0$

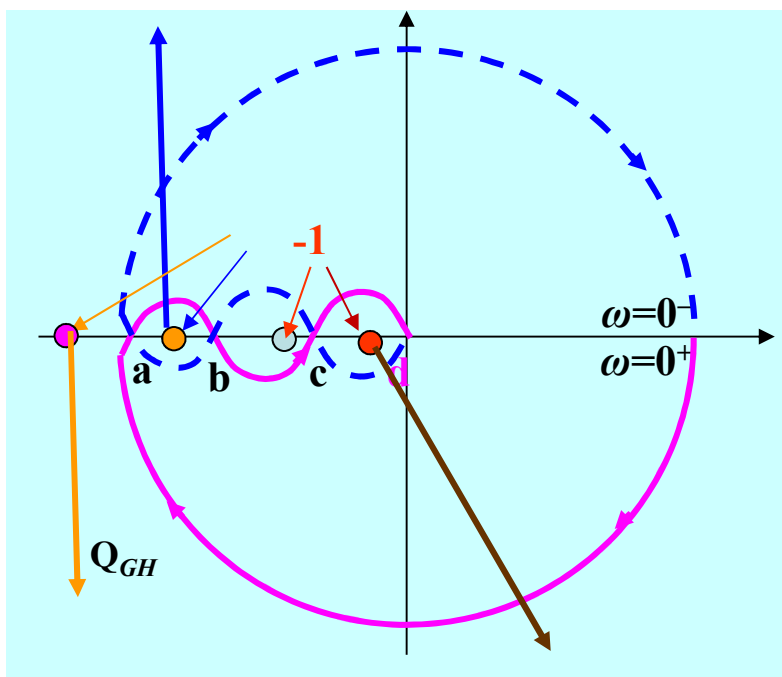
系统稳定



Nyquist稳定性判据——示例



通过增大或减少增益，系统稳定性将出现变化



1) 若增大增益，使得 (-1) 点在 **c** 和 **d** 之间，则 $N = -2$ 。系统不稳定

2) 若减小增益，使得 (-1) 点位于极坐标图的 **a** 和 **b** 之间，则 $N = -2$ 。系统不稳定

3) 进一步减少增益，使得 (-1) 点位于 **a** 的左侧，则 $N = 0$ 。系统稳定

该系统称为条件稳定

条件稳定系统：系统在给定增益范围内是稳定的，但当增益增加或减少时，系统出现不稳定



Thanks!